

各界面電気的モデルによる凝集条件の検討

東北工業大学 正員。今野 弘
東北工業大学 二郷清朗

1. はじめに

著者らは、粒子の凝集には、粒子表面の界面電気的性質が重要な役割を果たすという基本的な考え方をもとに、界面化学の分野で提示されている各界面電気的モデルについて粒子の凝集条件の、主に理論的な検討をつづけてきた。本報告は、表面電位一定モデルと表面電荷密度一定モデルとの混合モデルと、Stern層表面の電位への補正、いわゆる Stern補正について検討したものである。

2. 混合モデルと Stern 補正の理論

既報¹⁾では、凝集にかかわる双方の粒子は、表面電位一定モデルと表面電荷密度一定モデルなど同じモデルとおしの場合を取り扱っている。しかし、両モデルの現実性については、粒子の種類によって異なるといわれているようだ。実際には、一方が表面電位一定モデルで、他方が表面電荷密度一定モデルというケースも考えられ、また、理論的にも興味ある問題である。一方、イオンはある大きさをもっているので、固体表面からすぐ拡散が始まるという Gouy-Chapman モデルは、正確ではないといふことで Stern モデルが提案され、広く受け入れられている。したがって、この理論によれば、電気二重層による相互作用のエネルギーは、他のモデルで用いた表面電位ではなく、この Stern 層の外側での電位を利用する方が合理的であるといわれる。また、実験的にも報告例がある²⁾。さて、球形粒子で混合モデルの場合、非対称電気二重層の相互作用エネルギーは次式のようになる。

$$V_R^{4-0} = \frac{\varepsilon a_1 a_2 (\varphi_{o2}^2 - \varphi_{o1}^2)}{4(a_1 + a_2)} \left\{ \frac{4\varphi_{o1}\varphi_{o2}}{(\varphi_{o2}^2 - \varphi_{o1}^2)} \left(\frac{\pi}{2} - \tan^{-1} e^{\frac{KH_o}{2}} \right) - \ln \left(1 + e^{-\frac{KH_o}{2}} \right) \right\} \quad (1)$$

ここで、 V_R^{4-0} ：混合モデルでの相互作用エネルギー H_o ：粒子間距離

ε ：誘電率

$\varphi_{o1}, \varphi_{o2}$ ：球形粒子1, 2の表面電位

a_1, a_2 ：球形粒子1, 2の半径

K ：イオン半径の逆数

一方、Stern 層の電位を考慮した場合の電気二重層の相互作用エネルギーは次式のようになる。

$$V_R^S = \frac{\varepsilon a_1 a_2 (\varphi_{o1}^2 + \varphi_{o2}^2)}{4(a_1 + a_2)} \left\{ \frac{2\varphi_{o1}\varphi_{o2}}{\varphi_{o1}^2 + \varphi_{o2}^2} \ln \frac{1 + e^{-\frac{KH_o}{2}}}{1 - e^{-\frac{KH_o}{2}}} + \ln \left(1 - e^{-\frac{KH_o}{2}} \right) \right\} \quad (2)$$

$$\text{ただし、} \varphi_1 = \frac{1}{2} \left\{ \frac{1 + \frac{1}{K} \frac{\varepsilon K}{4\pi}}{1 + \frac{1}{K} \frac{\varepsilon K}{4\pi} \tanh \frac{KH_o}{2}} (\varphi_{o1} + \varphi_{o2}) + \frac{1 + \frac{1}{K} \frac{\varepsilon K}{4\pi}}{1 + \frac{1}{K} \frac{\varepsilon K}{4\pi} \coth \frac{KH_o}{2}} (\varphi_{o1} - \varphi_{o2}) \right\} \quad (3)$$

$$\varphi_2 = \frac{1}{2} \left\{ \frac{1 + \frac{1}{K} \frac{\varepsilon K}{4\pi}}{1 + \frac{1}{K} \frac{\varepsilon K}{4\pi} \tanh \frac{KH_o}{2}} (\varphi_{o1} + \varphi_{o2}) - \frac{1 + \frac{1}{K} \frac{\varepsilon K}{4\pi}}{1 + \frac{1}{K} \frac{\varepsilon K}{4\pi} \coth \frac{KH_o}{2}} (\varphi_{o1} - \varphi_{o2}) \right\} \quad (4)$$

φ_1, φ_2 ：Stern 層表面の電位、 $\varphi_{o1}, \varphi_{o2}$ ：粒子が無限遠離したときの φ_1, φ_2 、 K ：Stern 層の容量
なお、粒子には Van der Waals 力による吸引エネルギー V_A

$$V_A = - \frac{A a_1 a_2}{6 H_o (a_1 + a_2)} \quad (A: \text{Hamaker 定数}) \quad (5)$$

が働くているので、粒子の凝集条件として、既報と同様に、

$$V_R^{4-0} \text{ (または } V_R^S \text{)} + V_A = E_K \quad \left. \begin{array}{l} \\ d \{ V_R^{4-0} \text{ (または } V_R^S \text{)} + V_A \} / d H_o = 0 \end{array} \right\} \quad (6)$$

と設定する。ただし、 E_K は粒子の有している運動エネルギーである。

3、凝集条件を満足するときの粒子1, 2の電位比 $\varphi_{o2}/\varphi_{o1}$ ($\varphi_{o2}/\varphi_{o1}$) と KH_o の関係。

混合モデルの場合、凝集条件を満足するときの $\varphi_{o2}/\varphi_{o1}$ と KH_o の関係は次式

1) 今野・佐藤・日向：粒子の凝集についての二、三の理論的考察、第35回年講、1980.9, 2) S Usui, T Yamazaki, T Shimomizaka; J. Phys. Chem. 71, 1967.

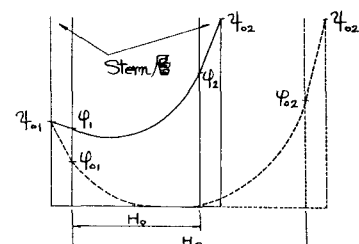


図-1 Stern補正の模式図

のようにまとめられる。

$$\frac{\psi_{02}}{\psi_{01}} = -2\left(\frac{J}{I}\right) \pm \sqrt{4\left(\frac{J}{I}\right)^2 + \frac{4EK}{\varepsilon a_1 I \psi_{01}^2} + 1} \quad (7)$$

$$\text{ただし、 } I = -\ln(1 + e^{-KH_0}) + \frac{2e^{-KH_0}}{1 + e^{-KH_0}} KH_0. \quad (8)$$

$$J = \frac{\pi}{2} - \tan^{-1} e^{-KH_0} - \frac{e^{-KH_0}}{1 + e^{-KH_0}} KH_0. \quad (9)$$

図-2は、 $E_K=0$ のときの $\frac{\psi_{02}}{\psi_{01}}$ と KH_0 との関係を式(7)に基づいて計算した結果を示したものである。図には他のモデルの結果もあわせて示してある。図から、混合モデルは、 $\frac{\psi_{02}}{\psi_{01}}=1$ 付近を除いて表面電位一定モデルにほぼ一致した挙動を示すことがわかる。

一方、Sturm補正の場合、 $\frac{\psi_{02}}{\psi_{01}}$ と KH_0 の関係は次のようになる。

$$\frac{\psi_{02}}{\psi_{01}} = -\frac{C}{B} + \sqrt{\left(\frac{C}{B}\right)^2 + \frac{4EK}{\varepsilon a_1 B \psi_{01}^2 (1+\beta)^2} - 1} \quad (10)$$

$$\text{ただし、 } B = (L^2 + M^2) \frac{KH_0 e^{-KH_0}}{1 - e^{-KH_0}} + (L^2 - M^2) \frac{KH_0 e^{-KH_0}}{1 - e^{-KH_0}} - L^2 (LN KH_0 \beta - 1) \ln(1 + e^{-KH_0}) + M^2 (MP KH_0 \beta + 1) \ln(1 - e^{-KH_0}) \\ C = L^2 \ln(1 - e^{-KH_0}) - \{M^2 + KH_0 \beta (M^2 P + L^2 N)\} \ln(1 - e^{-KH_0}) \\ + (L^2 - M^2) \frac{KH_0 e^{-KH_0}}{1 - e^{-KH_0}} - (L^2 + M^2) \frac{KH_0 e^{-KH_0}}{1 - e^{-KH_0}} \\ L = \frac{1}{1 + \beta \gamma}, \quad M = \frac{1}{1 + \beta \gamma}, \quad N = 1 - \gamma^2, \quad P = \beta^2 - 1 \\ \beta = \frac{1}{K} \frac{\varepsilon K}{4\pi}, \quad \gamma = \tanh \frac{KH_0}{2}, \quad \beta = \coth \frac{KH_0}{2} \quad (11)$$

図-3は、 $E_K=0$ のときの $\frac{\psi_{02}}{\psi_{01}}$ と KH_0 の関係の $\log K=5.5$ の場合を式(10)に基づいて示したものである。なお、図中には、表面電荷密度一定モデルの場合も比較して示してあるが、その挙動は酷似している。

4. 凝集領域の比較検討

混合モデルの場合、凝集するための臨界電位を求める式($E_K=0$ とき)は次のようになる。

$$\psi_{01} = \pm \sqrt{\frac{KA(e^{2KH_0} + 1)}{6\varepsilon(KH_0)^2 e^{KH_0} \left[\frac{\psi_{02}}{\psi_{01}} - \frac{(1+\beta)^2 - 1}{2e^{KH_0}(1+e^{-KH_0})} \right]}} \quad (12)$$

図-4は、凝集領域を示したもので、図-2で予想されたとおり、その領域は、表面電位一定モデルの場合と比較し、 $\frac{\psi_{02}}{\psi_{01}}=1$ 付近で数mV程度のちがいがあるもののほぼ一致している。Sturm補正の場合には次式で求められる。

$$\psi_{01} = \pm \sqrt{\frac{AK}{F} \frac{1}{\varepsilon(KH_0)^2} \left[F \left\{ R \left(1 - \frac{\psi_{02}}{\psi_{01}} \right)^2 + S \left(1 + \frac{\psi_{02}}{\psi_{01}} \right)^2 \right\} \ln \frac{1+e^{-KH_0}}{1-e^{-KH_0}} - F \left\{ R \left(1 - \frac{\psi_{02}}{\psi_{01}} \right)^2 - S \left(1 + \frac{\psi_{02}}{\psi_{01}} \right)^2 \right\} \ln \left(1 - e^{-KH_0} \right) \right.} \\ \left. - Q^2 \left\{ G^2 \left(1 + \frac{\psi_{02}}{\psi_{01}} \right)^2 + H^2 \left(1 - \frac{\psi_{02}}{\psi_{01}} \right)^2 \right\} \frac{e^{-KH_0}}{1 - e^{-KH_0}} + Q^2 \left\{ G^2 \left(1 + \frac{\psi_{02}}{\psi_{01}} \right)^2 - H^2 \left(1 - \frac{\psi_{02}}{\psi_{01}} \right)^2 \right\} \frac{e^{-KH_0}}{1 - e^{-KH_0}} \right]} \quad (13)$$

$$F = \frac{\beta}{\beta} (1 + \beta)^2, \quad R = \frac{\beta^2 - 1}{(1 + \beta \gamma)^3}, \quad S = \frac{1 - \gamma^2}{(1 + \beta \gamma)^3}, \quad G = \frac{1}{1 + \beta \gamma (EL)}, \quad H = \frac{1}{1 + \beta \gamma (EM)}$$

図-5は、Sturm補正した凝集領域を示したものである。 $Q = \frac{1 + \beta}{2}$

粒子の電位の符号が反対でも必ず凝集するとは限らないという点で、表面電荷密度一定モデルと同様であるが、この凝集領域は、他のどのモデルにもみられない特異性を示している点で興味深い。また、Sturm層の容量によって凝集領域は大きく変動するところ明らかにわたった(図省略)。

5. おわりに、Sturm補正是、特異的かつ凝集領域を示したが、他面、従来の理論では説明できぬ現象を示し得る可能性がありようである。

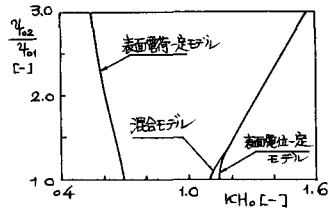


図-2 凝集条件を満足おときの $\frac{\psi_{02}}{\psi_{01}}$ と KH_0
($E_K=0$)

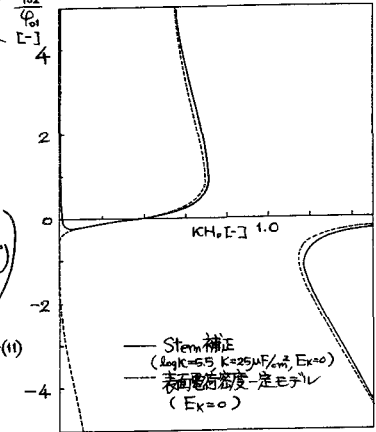


図-3 凝集条件を満足おときの $\frac{\psi_{02}}{\psi_{01}}$ と KH_0

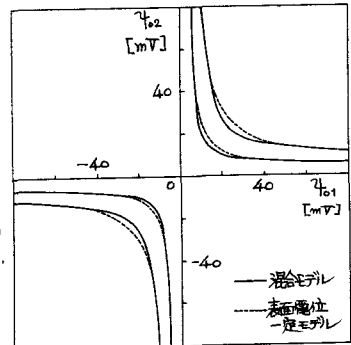


図-4 凝集条件を満足おときの $\frac{\psi_{02}}{\psi_{01}}$
($E_K=0$)

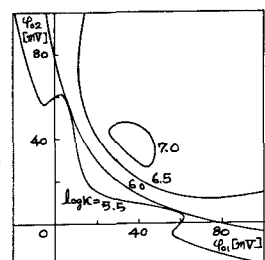


図-5 凝集条件を満足おときの $\frac{\psi_{02}}{\psi_{01}}$
($E_K=0$, $K=25\mu F/cm^2$)